

$$(y(t))_{kl, nm} = \delta_{nk} \delta_{me} \Theta(t) e^{-i(\epsilon_n - \epsilon_m)t}$$

Wie verhält sich unsere Störung?

$$H_{1,L}(t) |n\rangle \langle m| = H_1(t) |n\rangle \langle m| = \sum_k (H_1(t))_{kn} |k\rangle \langle m|$$

$$\Rightarrow (H_{1,L}(t))_{kl, nm} = \delta_{em} (H_1(t))_{kn}$$

Aber $H_{1,L}$ verändert nur die linke Seite!

Aber

$$\begin{array}{c} k \\ \text{---} \\ | \\ n \end{array} \Big| \begin{array}{c} | \\ m \end{array} \hat{=} (H_1(t))_{kn}$$

$$H_{1,R}(t) |n\rangle \langle m| \hat{=} |n\rangle \langle m| H_1(t) = \sum_e |n\rangle \langle e| (H_1(t))_{me}$$

$$\begin{array}{c} | \\ n \end{array} \Big| \begin{array}{c} e \\ \text{---} \\ | \\ m \end{array} \hat{=} - (H_1(t))_{me}$$

Für unser WW in Dipolkopplung gilt dann:

links

$$E(t) \cdot (\mu_L(t))_{kl, nm} = \delta_{em} E(t) \cdot (\mu(t))_{kn}$$

$$\begin{array}{c} k \\ \text{---} \\ | \\ n \end{array} \Big| \begin{array}{c} | \\ n \end{array} \hat{=} E(t) \cdot (\mu(t))_{kn}$$

rechts:

$$E(t) \cdot (\mu_R(t))_{kl, nm} = \delta_{nn} (\mu(t))_{me} \cdot E(t)$$

$$\int_n^m \frac{e}{m} \cong E(t) \cdot (\mu(t))_{m,e}$$

Es folgt die Spv:

$$tr(\mu_{R/L} \dots \dots \dots P_0)$$

↑ Steigen + Propagiert

Was macht die Sour an Ende?

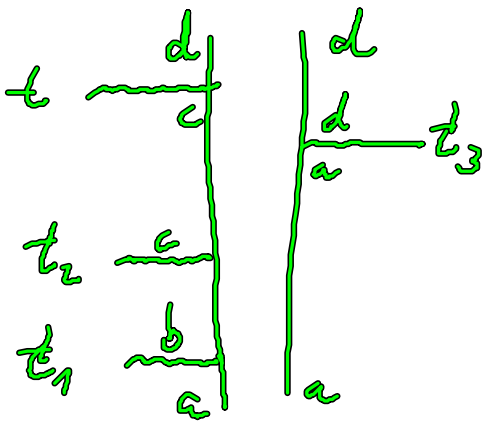
$$tr(\dots) = \sum_k \langle k| \dots |k\rangle$$

Auf $|n\rangle \langle m|$

$$tr(|n\rangle \langle m|) = \sum_k \langle k|n\rangle \langle m|k\rangle = \delta_{nm}$$

Am Ende müssen beide Zustände gleich sein!

Folgendes Diagramm als Bsp:



Bedingung Dichtematrix in Gleichgewicht.
also Dia geht

Aufschreiben der Formel

$$P^{(3)}(t) \Big|_{\text{Bsp: d}} = - \left(-\frac{i}{\hbar}\right)^3 \int_{t_0}^t dt_3 \int_{t_0}^{t_3} dt_2 \int_{t_0}^{t_2} dt_1$$

$$\sum_a P_a \mu_{L,R}(t) \langle H_{1,a} \rangle_c(t_3 - t_2) H_{1,a} \langle H_{1,b} \rangle_{ba}(t_2 - t_1) H_{1,b} \langle H_{1,c} \rangle_a(t)$$

← von unten nach oben aufschreiben

Verwende Ausdrücke für Green's fct:

$$= - \left(\frac{i}{\hbar} \right)^3 \int_{t_0}^t dt_3 \int_{t_0}^{t_3} dt_2 \int_{t_0}^{t_2} dt_1 \sum_{abcd} N_{cd}(t) H_{1a}(t) H_{1b}(t_2) H_{1c}(t_1) H_{1d}(t_1)$$

$$e^{-i(\epsilon_c - \epsilon_d)(t-t_3)} e^{-i(\epsilon_c - \epsilon_b)(t_3-t_2)} e^{-i(\epsilon_b - \epsilon_d)(t_2-t_1)}$$

Nächste Abschnitt:

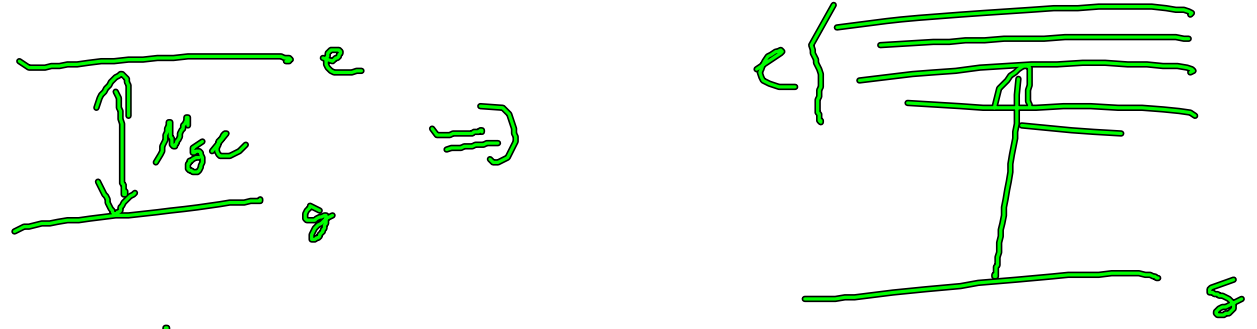
Dipolauswahlregeln und Energieerhaltung zur Reduktion der Diagramme verwenden.

III.4 Regeln aufstellen für Diagramme

Ziel: Eigenschaften des Hamilton operators nutzen um Anzahl der Diagramme zu reduzieren!

- a) Dipol auswahlregeln (Zweiniveausystem)
- b) Rotating Wave Approximation (Energieerhaltung)
- c) weiteres Beispiel für Spektroskopie
- d) Mittelwertsatz mit Einschränkung als Analysemöglichkeit

a) Beispiel Zwei Niveausystem / Zwei Bandensystem



e: 1st single exciton : einfache Anregung.

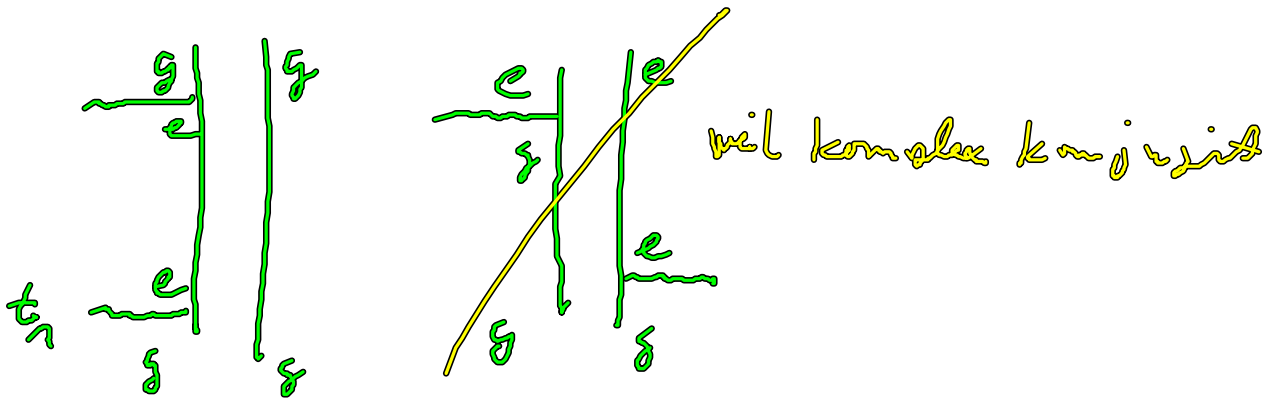
Hamilton operator :

$$H_1 = \sum_{\underline{e}} E(\hbar) \rho_{\underline{e}} |g\rangle\langle e| + \underbrace{\sum_{\underline{e}} E(\hbar) \rho_{\underline{e}} |e\rangle\langle g|}_{\substack{\text{hier könnte man } \\ \hbar \cdot c \text{ schreiben}}}$$

Observable : $P(\hbar) = \rho_{ge} + (|g\rangle\langle e| + |e\rangle\langle g|)$

Es sieht dies zu brechen,
 Complex konjugiert mit
 Spat 50% der Diagonale:

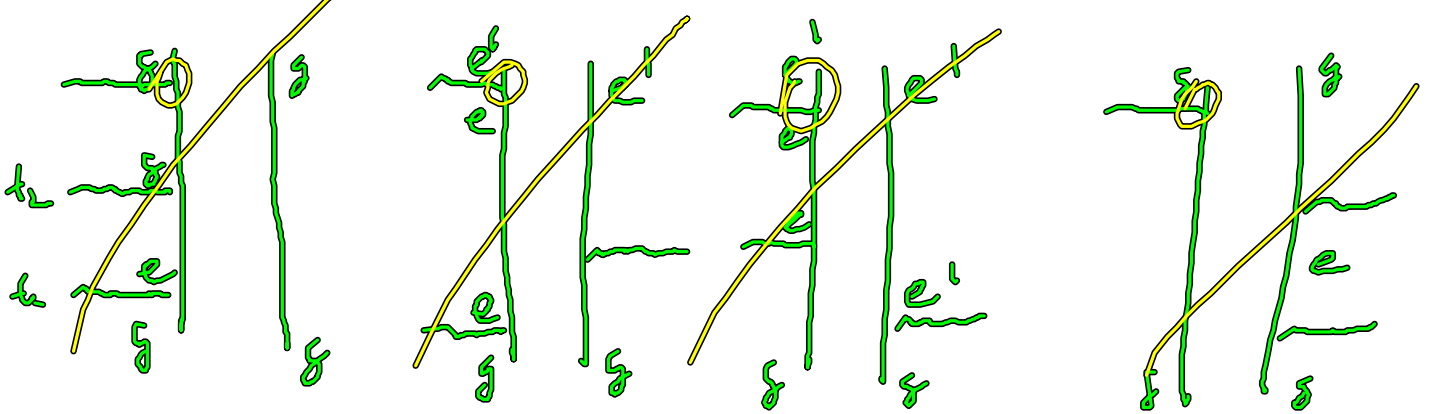
Diagonale 1. Ordnung (Kommutation observable $P(\hbar)$)



$$\rho^{(1)}(\hbar) = \int_{t_0}^t dt_1 \rho \left(\frac{-i}{\hbar} \right) \sum_{\underline{e}} \rho_{ge} \rho_{eg} \cdot E(\hbar) e^{-i(\omega_e - \omega_g)t_1 - \gamma_{eg} t_1} + c. l.$$

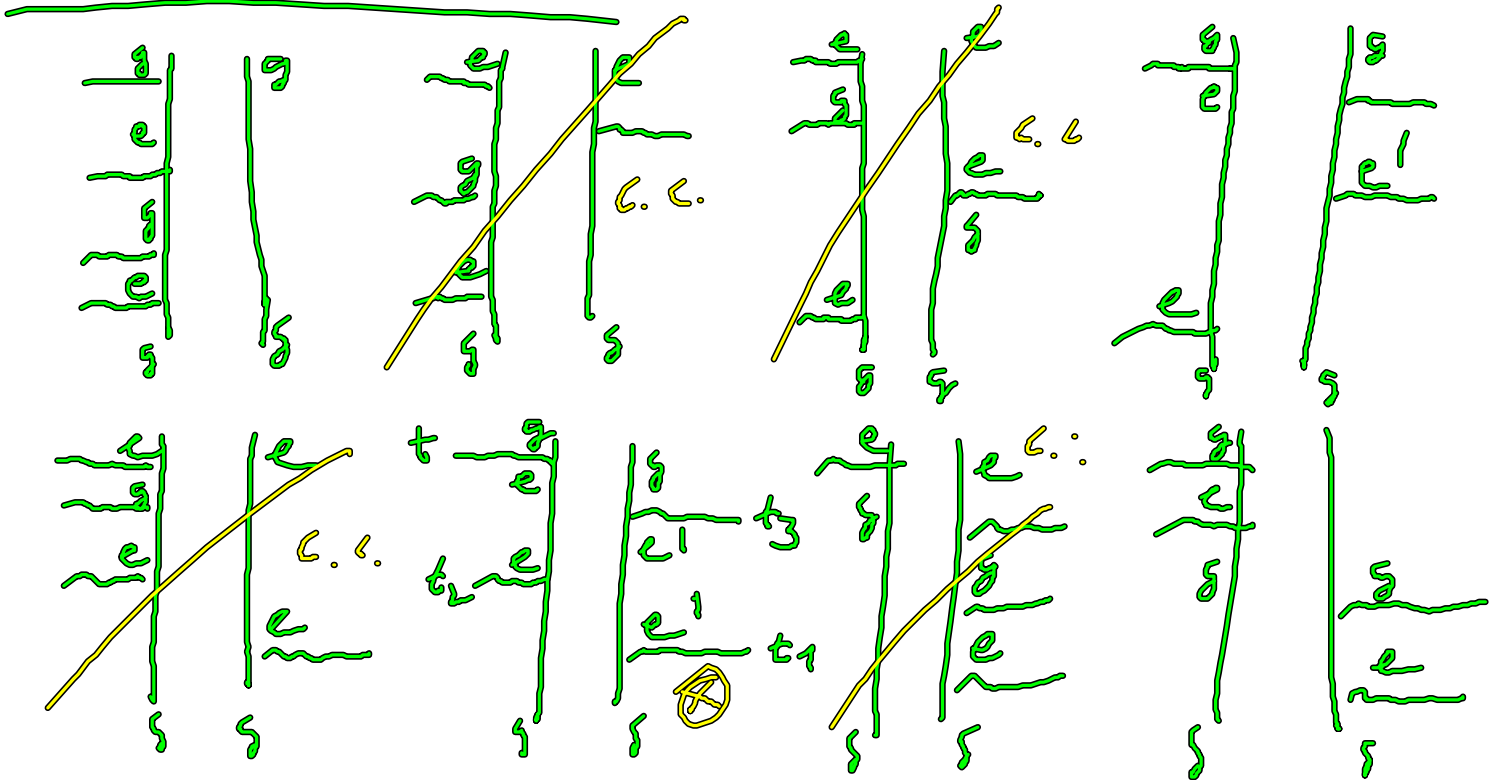
z.B. Umgebungs effekte
phenomenologisch

Diagonale 2. Ordnung



$\Rightarrow 0$ (kein Dipolmoment) Fertig! (Außer es seien Dipolmomente N_{g_2} oder N_{e_1})

Diagramm 3. Ordnung



Aber wir haben 4. Diagramme.
Am Obervolle noch hinzusetzen...

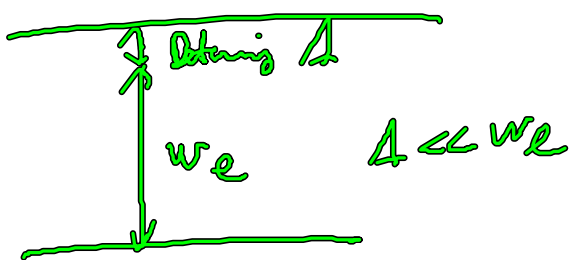
Beispiel für Response von \otimes

$$\begin{aligned}
 P^{(3)}(t) \otimes & \Rightarrow \uparrow \left(-\frac{i}{\hbar}\right)^3 \sum_{\text{kein Vorzeichen}} \int_{t_0}^t dt_3 \int_{t_0}^{t_3} dt_2 \int_{t_0}^{t_2} dt_1 N_{ge} N_{ge}(t_1) \cdot E(t_1) \\
 & N_{eg}(t_2) \cdot E(t_2) N_{eg}(t_0) \cdot E(t_0) \\
 & \delta_{eg}(t-t_3) \delta_{ee}(t_3-t_2) \delta_{ge}(t_2-t_1) \\
 & = \left(-\frac{i}{\hbar}\right)^3 \sum_{ee} \int_{t_0}^t dt_3 \int_{t_0}^{t_3} dt_2 \int_{t_0}^{t_2} dt_1 N_{ge} N_{ge}(t_1) \cdot E(t_1) \\
 & N_{eg}(t_2) \cdot E(t_2) N_{eg}(t_0) \cdot E(t_0) \\
 & e^{-i(\omega_e - \omega_g)(t-t_3) - \gamma_{eg}(t-t_3)} \\
 & e^{-i(\omega_e - \omega_e)(t_3-t_2) - \gamma_{ee}(t_3-t_2)} \\
 & e^{-i(\omega_g - \omega_e)(t_2-t_1) - \gamma_{ge}(t_2-t_1)}
 \end{aligned}$$

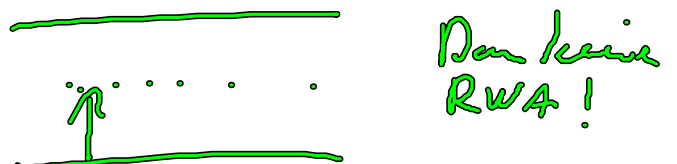
Rotating wave approximation / Drehwellen Näherung

Bei resonanter Anregung optischer Übergänge wird meist die RWA Näherung durchgeführt. Dies vernachlässigt stark off-resonante Prozesse.

Beispiel ..



Nicht bei stark off-resonanten Prozessen



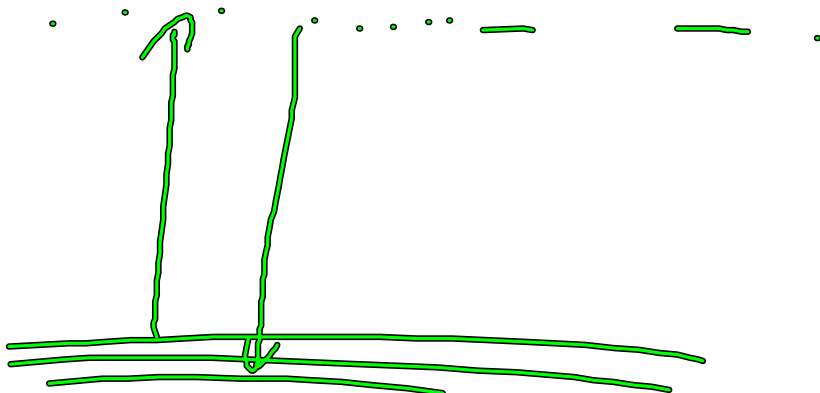
Nicht bei zwei-photonen absorbtion: (z.B. Second Harmonic Generation)



Kein RWA erlaubt, da dies sonst weggelassen
wird, das ein Photon ist stark
offresant.

Hier Energie in sonst Prozesse
erfüllt nicht in einsehen!

Raman Prozess (offresant)



Hier darf man offresante Prozesse nicht vernachlässigen!

Zur Vorbereitung Rotations frame definieren:

$$E(t) = \hat{E}(t) e^{i\omega_e t} + \hat{E}^x(t) e^{-i\omega_e t}$$

Der Hamiltonoperator hat die Form: $\omega_{ij} = \omega_i - \omega_j$

Bsp: $H_A(t) = \sum_e \hat{E}(t) \cancel{\mu_{se}} e^{i\omega_e t - i\omega_s t} |g\rangle\langle e|$

$$+ \sum_e \hat{E}^x(t) \cancel{\mu_{se}} e^{-i\omega_e t - i\omega_s t} |g\rangle\langle e|$$

RWA

~~ω_s rotat schnell~~
 ~~\Rightarrow vernachlässigen~~

$$+ \sum_e \hat{E}(t) \mu_{eg} e^{i\omega_e t - i\omega_g t} |e\rangle\langle g|$$

$$+ \sum_e \hat{E}^x(t) \cancel{\mu_{eg}} e^{-i\omega_e t - i\omega_g t} |e\rangle\langle g|$$

RWA

$$= \sum_{\mathbf{k}} \hat{E}(t) \cdot N_{\mathbf{k}\sigma} e^{i(\omega_{\mathbf{k}} - \omega_0)t} |g\rangle\langle g| (A)$$

$$+ \sum_{\mathbf{k}} \hat{E}^{\dagger}(t) \cdot N_{\mathbf{k}\sigma} e^{i(\omega_{\mathbf{k}} - \omega_0)t} |e\rangle\langle g| (B)$$

E-Feld

$|g\rangle$
 $|e\rangle$

\leftarrow Emission = $e^{i\omega_{\mathbf{k}}t} \hat{E}(t)$

(A)

$|g\rangle$
 $|e\rangle$

\leftarrow Absorption = $e^{i\omega_{\mathbf{k}}t} \hat{E}(t)$

$|g\rangle$
 $|e\rangle$

\rightarrow Absorption = $e^{-i\omega_{\mathbf{k}}t} \hat{E}^{\dagger}(t)$

$|g\rangle$
 $|e\rangle$

\rightarrow Emission = $e^{-i\omega_{\mathbf{k}}t} \hat{E}^{\dagger}(t)$